

# ОПРЕДЕЛЕНИЕ РАСХОДА ЗАКАЧИВАЕМОЙ НАГРЕТОЙ КИСЛОТНОЙ КОМПОЗИЦИИ В ПЛАСТ ПРИ ПОСТОЯННОЙ РЕПРЕССИИ

При обработке призабойной зоны пласта (ПЗП) кислотными растворами обычно расход  $Q$  или темп закачки  $M$  являются искомыми функциями времени, зависящие от репрессии на пласт  $\Delta p(t) = p_c(t) - p_k$  [1, 2] ( $p_c(t)$  и  $p_k$  - соответственно давление на стенке скважины контуре питания). В работе [3] предложен приближенный способ определения расхода при  $\Delta p(t) = \text{const}$  и постоянных пластовых данных

Вычислим расход жидкости в случае, когда проницаемость пласта постоянная и равна  $k = k_n$ , а вязкость зависит от температуры и по закону

$$\mu = f_1(T_1), \quad (1)$$

где  $f_1(T_1)$  -функция, зависящая от температуры, определяемая на основе обработки экспериментальных данных.

Функции  $f_1(T_1)$ , принимаем по закону

$$f_1(T_1) = \frac{\mu_n T_n}{T_1} = \frac{\mu_n T_n}{T_n + T^*(T_{10} - T_n)}, \quad (2)$$

где  $\mu_n$ ,  $T_n$  - вязкость и температура пластовой жидкости;  $T_1 = T_1(r)$  - температура жидкости в зоне закачки;  $T_{10}$  - температура жидкости на стенке скважины.

В выражении (1) температура  $T^*$  является функцией  $r$  и вычисляется по формуле [4]

$$T^* = T^*(\bar{r}, \beta, \lambda_0) = \frac{\lambda_0(\xi^\beta - \bar{r}^\beta)}{\beta + \lambda_0(\xi^\beta - 1)},$$

где  $\beta = M\rho g / 4\pi h a_{\infty}$ ,  $M$  - темп закачки;  $\rho$  - плотность закачиваемой жидкости;  $h$  - мощность продуктивного пласта;  $a_{\infty}$  -коэффициент температуропроводности закачиваемой жидкости;  $\lambda_0 = \alpha_0 R_c / \lambda_{\infty}$ ,  $\alpha_0$  - коэффициент теплообмена между жидкостью и породной среды;  $R_c$  - радиус скважины;  $\lambda_{\infty}$  - коэффициент теплопроводности жидкости,  $\xi = R_1 / R_c$ ;  $R_1$  - радиус кольматации.

Пользуясь формулой (2), определяем коэффициент расхода жидкости

$$Q = \frac{2\pi \varepsilon_n \Delta p}{\ln(R_k / R_1) + \int_1^\xi \frac{dx}{x[1 + T^*(x, \beta, \lambda_0)(\sigma - 1)]}}, \quad (\sigma = T_{10} / T_n), \quad (3)$$

где  $R_k$  - радиус контура питания;  $\varepsilon_n$  - гидропроводность удаленной части пласта;  $Q$  - расход жидкости.

Учитывая  $\varepsilon_n = k_n h / \mu_n$ ,  $\beta = Q / 2\pi a_{\infty}$  ( $k_n$  - проницаемость удаленной части пласта) и вводя новый безразмерный параметр  $B = k_n \Delta p / \mu_n a_{\infty} \ln(R_k / R_c)$ , приведем зависимость (3) к виду

$$\beta = \frac{B \ln(R_k / R_c)}{\ln(R_k / R_c) - \ln \xi + \int_1^\xi \frac{dx}{x[1 + T^*(x, \beta, \lambda_0)(\sigma - 1)]}}. \quad (4)$$

Зависимость (4) может служить уравнением для определения величины  $\beta$  при известных значениях отношения  $R_k / R_c$  безразмерных параметров  $B$ ,  $\xi$ ,  $\lambda_0$ ,  $\sigma$ .

Для параметров пласта, если принимать  $k_n = 10^{-14} \text{ м}^2 = 0,01 \text{ дарси}$ ,  $\mu_n = 0,001 \text{ Па}\cdot\text{с}$ ,

температуропроводность жидкости  $a_{\infty} = 10^{-7} \text{ м}^2 / \text{с}$ , то безразмерный параметр  $B$

будет равен  $B = 10^{-4} \Delta p / \ln(R_k / R_c) \frac{1}{\text{Па}}$ . При

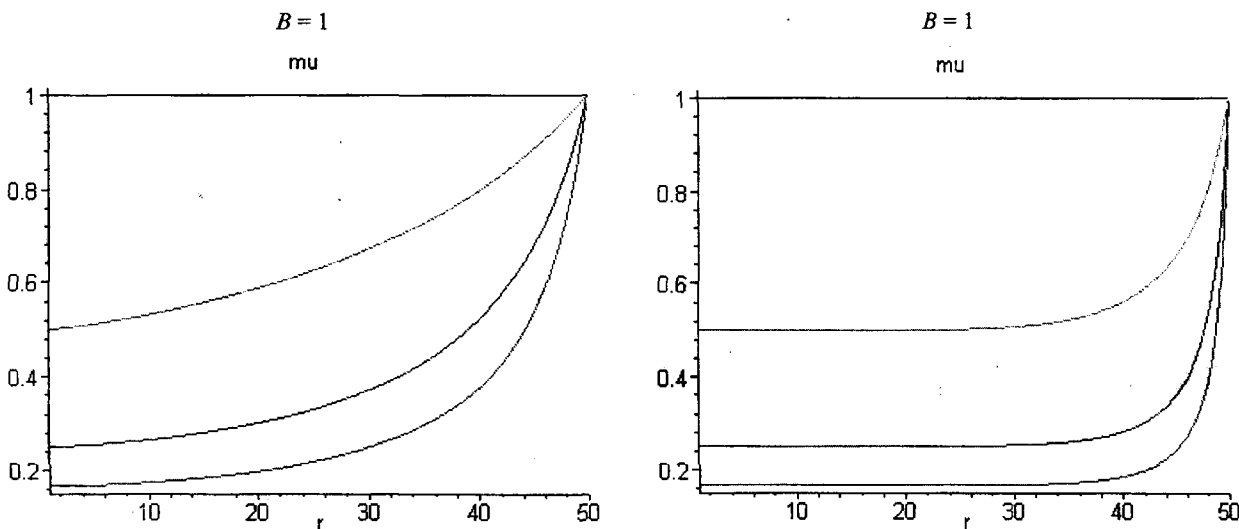
$\Delta p = 0,01 \text{ МПа}, 0,1 \text{ МПа}, 1,0 \text{ МПа}$  соответственно имеем  $B = 0,144, 1,44, 14,47$ .

В таблице представлены данные для величины  $\beta$  при  $R_k = 100 \text{ м}$ ,  $R_c = 0,1 \text{ м}$ ,  $\lambda_0 = 4$  и различных значениях безразмерных  $B$ ,  $\xi$ ,  $\sigma$ .

Из анализа табличных данных видно, что ростом температуры нагнетаемой жидкости (параметр  $\sigma = T_{10} / T_n$ ) расход (теплопоток закачки) также растет. Например, при  $B = 1$  положим  $\sigma = 1$ , тогда из уравнения (4) имеем  $\beta = B = 1$  для всех  $\xi$ . Полагая теперь  $\sigma = 2$ , получаем:  $\beta = 1,1$  при  $\xi = 5$ ,  $\beta = 1,22$  при  $\xi = 30$ ,  $\beta = 1,32$  при  $\xi = 50$ . С увеличением зоны обработки влияние температуры растет, при этом видно, что теплопоток закачки при  $\sigma = 2$ , увеличивается примерно на 30%. При  $\sigma = 6$ , соответственно имеем  $\beta = 1,21$  при  $\xi = 5$ ,  $\beta = 1,51$  при  $\xi = 30$  и  $\beta = 1,82$  при  $\xi = 50$ . Темп закачки в этом случае растет примерно на 80%. Существенный рост темпа закачки наблюдается при больших значениях параметра  $B$ , что связано с уменьшением вязкости удаленной части пласта или температуропроводности нагнетаемой жидкости.

#### Решение уравнения (4) при различных значениях параметров $B$ , $\xi$ , $\sigma$

| $B = 0,5$    |      |      |      |      |      |              |      |      |      |      |      |              |      |      |      |  |  |
|--------------|------|------|------|------|------|--------------|------|------|------|------|------|--------------|------|------|------|--|--|
| $\sigma = 2$ |      |      |      |      |      | $\sigma = 4$ |      |      |      |      |      | $\sigma = 6$ |      |      |      |  |  |
| $\xi$        | 5    | 10   | 20   | 30   | 50   | 5            | 10   | 20   | 30   | 50   | 5    | 10           | 20   | 30   | 50   |  |  |
| $\beta$      | 0,54 | 0,56 | 0,59 | 0,62 | 0,64 | 0,58         | 0,62 | 0,69 | 0,72 | 0,79 | 0,60 | 0,65         | 0,73 | 0,78 | 0,87 |  |  |
| $B = 10$     |      |      |      |      |      |              |      |      |      |      |      |              |      |      |      |  |  |
| $\sigma = 2$ |      |      |      |      |      | $\sigma = 4$ |      |      |      |      |      | $\sigma = 6$ |      |      |      |  |  |
| $\xi$        | 5    | 10   | 20   | 30   | 50   | 5            | 10   | 20   | 30   | 50   | 5    | 10           | 20   | 30   | 50   |  |  |
| $\beta$      | 1,1  | 1,12 | 1,22 | 1,26 | 1,32 | 1,16         | 1,28 | 1,40 | 1,52 | 1,64 | 1,21 | 1,32         | 1,51 | 1,62 | 1,82 |  |  |
| $B = 5,0$    |      |      |      |      |      |              |      |      |      |      |      |              |      |      |      |  |  |
| $\sigma = 2$ |      |      |      |      |      | $\sigma = 4$ |      |      |      |      |      | $\sigma = 6$ |      |      |      |  |  |
| $\xi$        | 5    | 10   | 20   | 30   | 50   | 5            | 10   | 20   | 30   | 50   | 5    | 10           | 20   | 30   | 50   |  |  |
| $\beta$      | 5,6  | 6,0  | 6,4  | 6,6  | 6,9  | 6,0          | 6,6  | 7,3  | 7,8  | 8,6  | 6,2  | 6,8          | 7,7  | 8,1  | 9,4  |  |  |



На рисунке представлена графическая зависимость изменения отношения  $t\mu = \mu / \mu_n$  от расстояния  $r$  (отнесенного к  $R_c$ ) при различных значениях параметров  $B$  и  $\sigma$ . Видно, что с увеличением температуры нагнетаемой жидкости вязкость с минимального при  $r = R_c$  монотонно растет до максимального значения при  $r = R_k$ . При этом рост параметра  $B$  приводит к увеличению длины участка с постоянной вязкостью в зоне обработки пласта.

Изменение вязкости нагнетаемой в пласт жидкости от расстояния (отнесенного к  $R_c$ ) для двух значений параметра  $B$  и различных значений  $\sigma$ :  $\sigma = 1$  (черные);  $\sigma = 2$  (зеленые);  $\sigma = 4$  (синие);  $\sigma = 6$  (красные).

#### ЛИТЕРАТУРА

- Муравьев И.М., Андириасов Р.С., Гиматудинов Ш.К., Говорова Г.Л., Половиков В.Т. Разработка и эксплуатация нефтяных и газовых месторождений. М.: Недра, 1976.

- Ибрагимов Л.Х., Мищенко И.Т., Челоянц Д.К. Интенсификация добычи нефти. М.: Наука, 2000. 414 с.
- Рабинович Н.Р. Инженерные задачи механики сплошной среды в бурении. М.: Недра, 1980. 270 с.
- Мардонов Б.М., Досказиева Г.Ш. Исследование фильтрационных и массообменных процессов в околоскважинной зоне пласта при стационарном тепловом воздействии. Материалы международной научно-технической конференции. Кн. 1. Самарканда, 2007. С. 58-63.

#### Резюме

Жынысты өңдеу аумағында үнемі тұтқырлықпен учаске ұзындығын ұлғайту және шайқалып қыздырылған қышқылды композицияның шығын есебінің әдісі өндөлді.

#### Summary

In present work working out the methodic of calculation outlay rolling heating acid composition and increase length plot with constant sticky in zone treatment layer.

УДК 622:276.75

Атырауский институт  
нефти и газа

Поступила 12.03.08г.